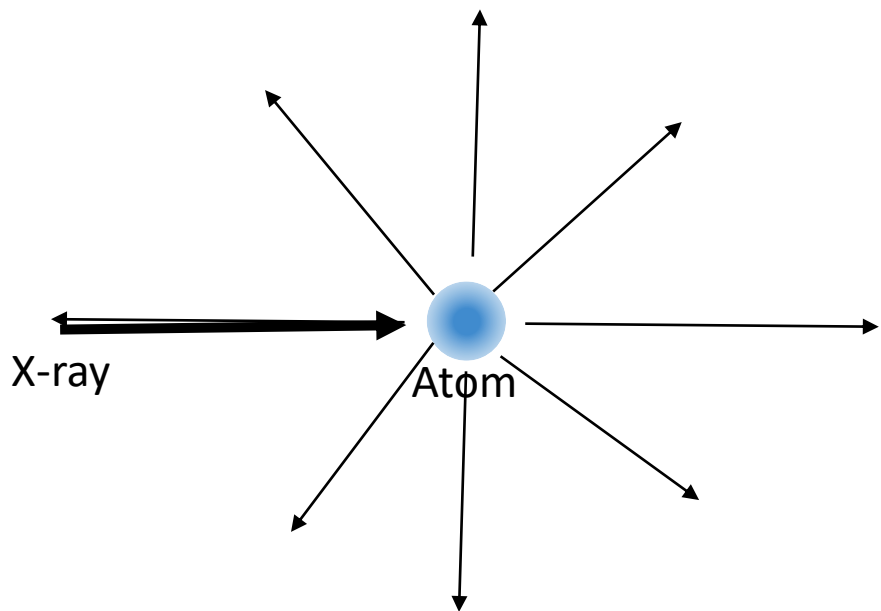
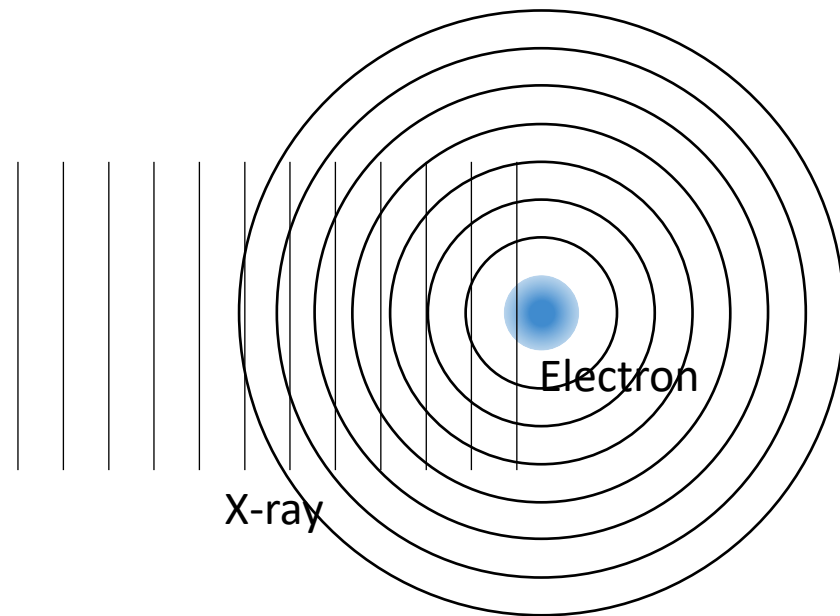


放射光X線回折

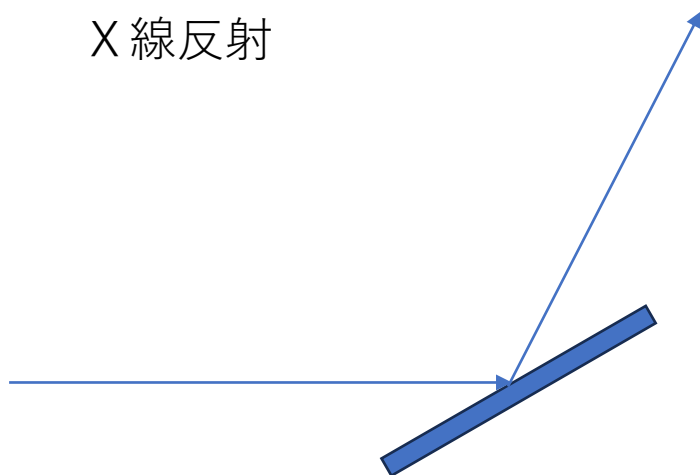
X線散乱



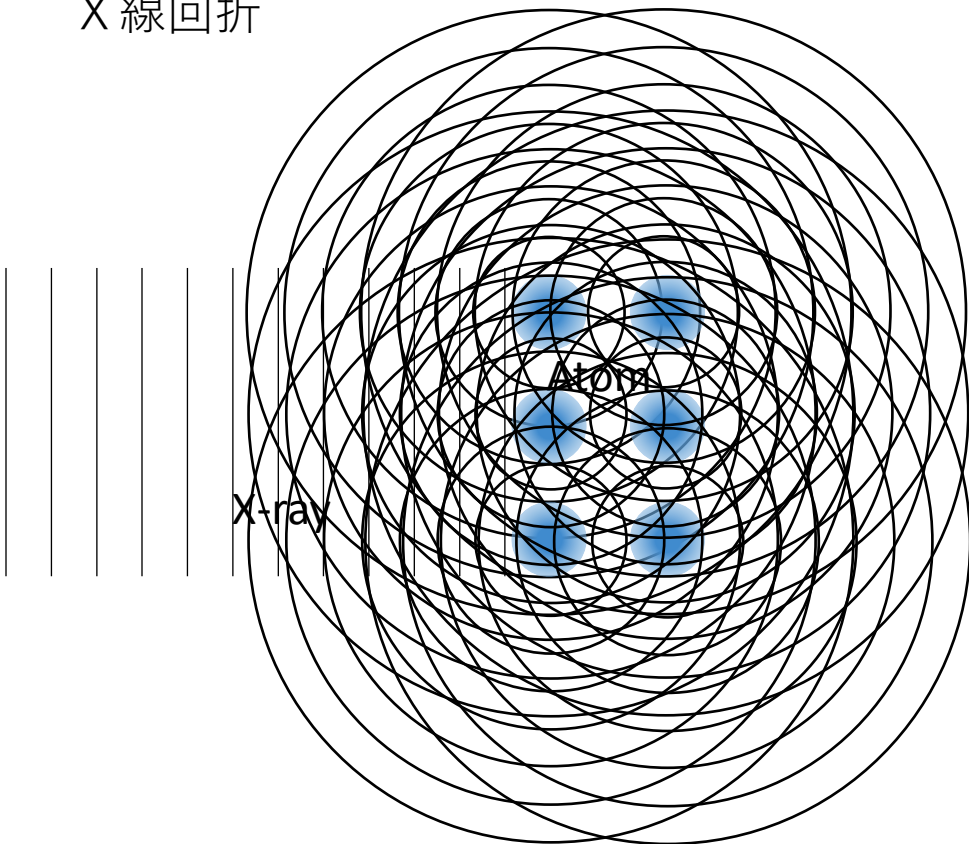
X線回折



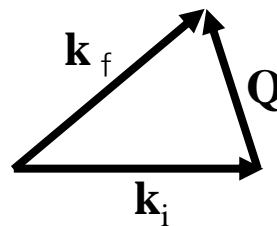
X線反射



X線回折



干渉条件 Bragg's law



\mathbf{k}_i : 入射波数ベクトル
 \mathbf{k}_f : 散乱波数ベクトル
 \mathbf{Q} : 逆格子ベクトル

$$\mathbf{k}_f - \mathbf{k}_i = \mathbf{Q} \quad 2k_i \sin \theta = Q$$

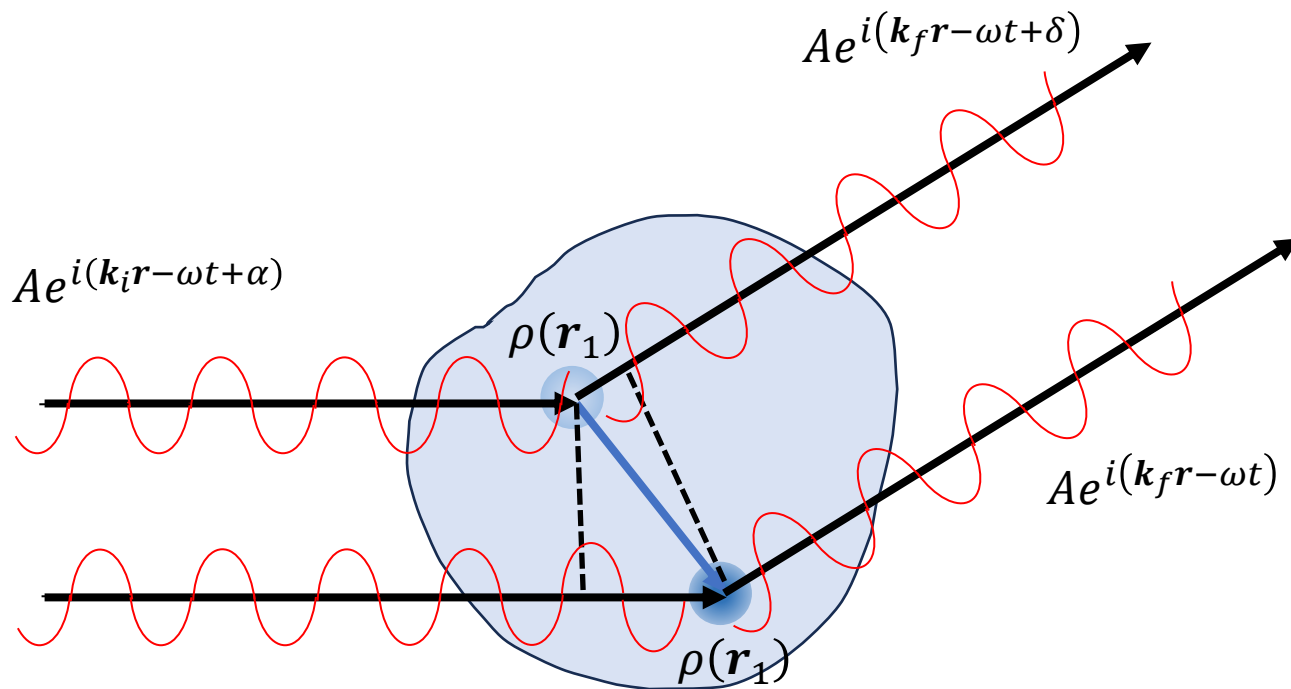
X線回折強度

$$I(\mathbf{Q}) \propto |F(\mathbf{Q})|^2$$

$$F(\mathbf{Q}) = \sum_j f_j(\mathbf{Q}) \exp(2\pi i \mathbf{r}_j \cdot \mathbf{Q})$$

$$f_i = f_i^{charge}(\mathbf{Q}) + f_i^{mag}(\mathbf{Q}) + f_i^{resonance}(E)$$

\mathbf{r}_j : j番目の原子の位置ベクトル
 \mathbf{Q} : 散乱ベクトル
 $f_j(\mathbf{Q})$: j番目の原子の散乱因子



$\rho(\mathbf{r})$: 電子密度

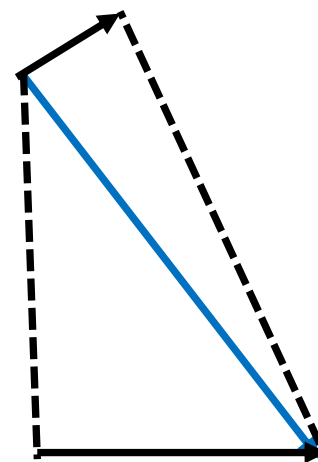
$$\text{光路差 } \delta = l_1 + l_2 = (\mathbf{k}_i - \mathbf{k}_f)(\mathbf{r}_2 - \mathbf{r}_1)$$

位置 \mathbf{r}_1 からの散乱X線は $\mathbf{Q} = \mathbf{k}_f - \mathbf{k}_i$

$$Ae^{i(\mathbf{k}_f \mathbf{r} - \omega t + \delta)} = Ae^{i(\mathbf{k}_f \mathbf{r} - \omega t - \mathbf{Q} \mathbf{r}_1)}$$

物質内の電子を考えると、

$$Ae^{i(\mathbf{k}_f \mathbf{r} - \omega t - \mathbf{Q} \mathbf{r})} \rho(\mathbf{r}) dV$$



位置の微小体積 dV からの散乱は

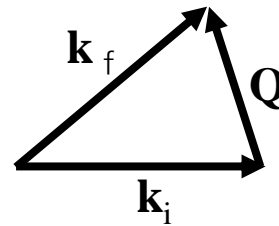
$$Ae^{i(\mathbf{k}_f \mathbf{r} - \omega t - \mathbf{Q} \mathbf{r})} \rho(\mathbf{r}) d\mathbf{r}$$

物質内すべての電子を考えて積算すると、

$$\int Ae^{i(\mathbf{k}_f \mathbf{r} - \omega t - \mathbf{Q} \mathbf{r})} \rho(\mathbf{r}) dV = Ae^{i(\mathbf{k}_f \mathbf{r} - \omega t)} \frac{\int e^{i\mathbf{Q} \mathbf{r}} \rho(\mathbf{r}) d\mathbf{r}}{F_{all}(\mathbf{Q})}$$

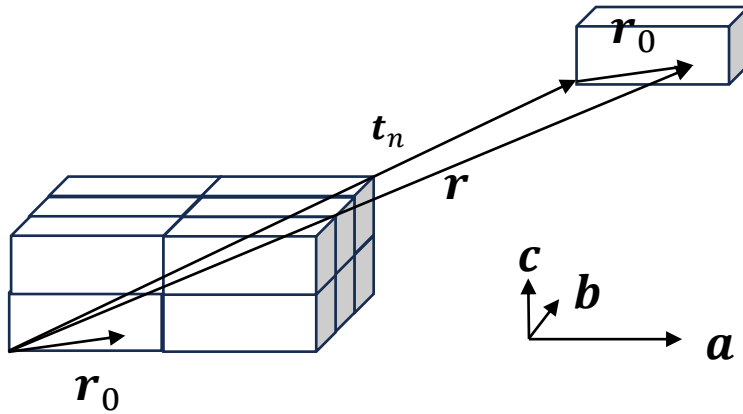
観測量は、振幅の二乗であるから、

$$I(\mathbf{Q}) = A^2 |F_{all}(\mathbf{Q})|^2$$



\mathbf{k}_i : 入射波数ベクトル
 \mathbf{k}_f : 散乱波数ベクトル
 \mathbf{Q} : 逆格子ベクトル

注意！！ 教科書によって定義が逆！！
理論家と実験屋の違い！！



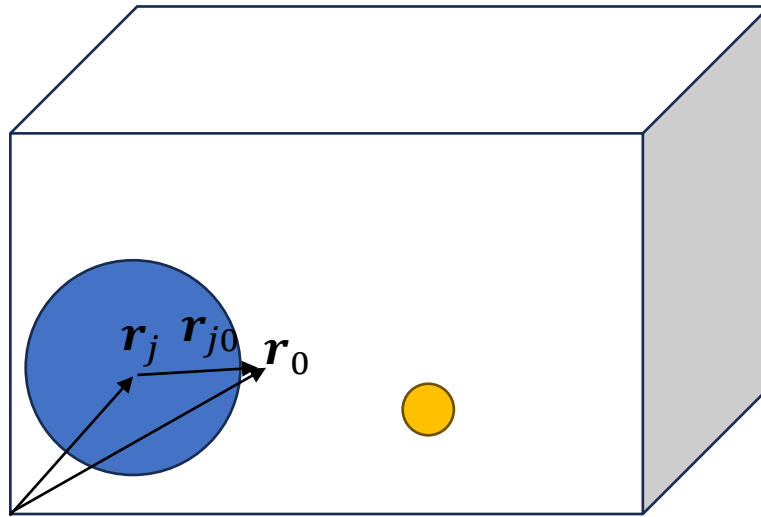
$$\begin{aligned}\mathbf{r}_n &= \mathbf{r}_0 + \mathbf{t}_n \\ \mathbf{t}_n &= n_1 \mathbf{a} + n_2 \mathbf{b} + n_3 \mathbf{c} \\ n_1, n_2, n_3 &\text{は整数}\end{aligned}$$

結晶の周期性を考えると、電子密度は

$$\rho(\mathbf{r}) = \sum_{n_1, n_2, n_3} \rho^{\text{cell}}(\mathbf{r} - (n_1 \mathbf{a} + n_2 \mathbf{b} + n_3 \mathbf{c}))$$

$$\begin{aligned}F_{\text{all}}(\mathbf{Q}) &= \int \sum_{n_1, n_2, n_3} \rho^{\text{cell}}(\mathbf{r} - n_1 \mathbf{a} + n_2 \mathbf{b} + n_3 \mathbf{c}) e^{i\mathbf{Q}\mathbf{r}} d\mathbf{r} \\ &= \sum_{n_1, n_2, n_3} \frac{e^{-i\mathbf{Q}(n_1 \mathbf{a} + n_2 \mathbf{b} + n_3 \mathbf{c})}}{L(\mathbf{Q}, n_1, n_2, n_3)} \frac{\int \rho^{\text{cell}}(\mathbf{r}_0) e^{i\mathbf{Q}\mathbf{r}} d\mathbf{r}}{F(\mathbf{Q})}\end{aligned}$$

$$F(\mathbf{Q}) = \int \rho^{cell}(\mathbf{r}_0) e^{i\mathbf{Q}\mathbf{r}_0} d\mathbf{r}$$



$$\rho^{cell}(\mathbf{r}_0) = \sum_j \rho_j^{atom}(\mathbf{r}_{j0})$$

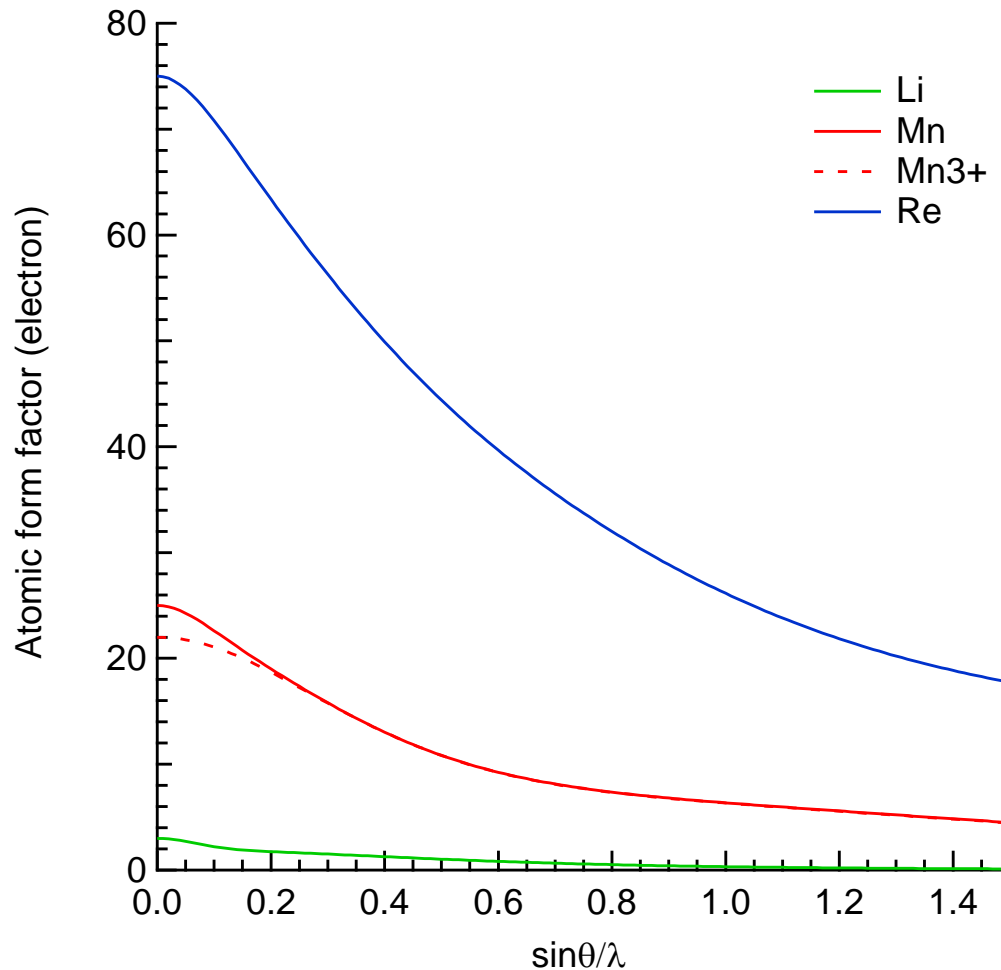
\mathbf{r}_j にいる原子jの電子密度の足し合わせ

$$F(\mathbf{Q}) = \int \sum_j \rho_j^{atom}(\mathbf{r}_{j0}) e^{i\mathbf{Q}\mathbf{r}_0} d\mathbf{r} = \sum_j^{cell} \left[\int \rho_j^{atom}(\mathbf{r}_{j0}) e^{i\mathbf{Q}\mathbf{r}_{j0}} d\mathbf{r} \right] e^{i\mathbf{Q}\mathbf{r}_j} = \sum_j^{cell} f_i(\mathbf{Q}) e^{i\mathbf{Q}\mathbf{r}_j}$$

$$f_i(\mathbf{Q}) = \int \rho_j^{atom}(\mathbf{r}_{j0}) e^{i\mathbf{Q}\mathbf{r}_{j0}} d\mathbf{r} \quad \text{原子散乱因子}$$

原子散乱因子：電子密度のフーリエ変換

電子による散乱（トムソン散乱）の振幅

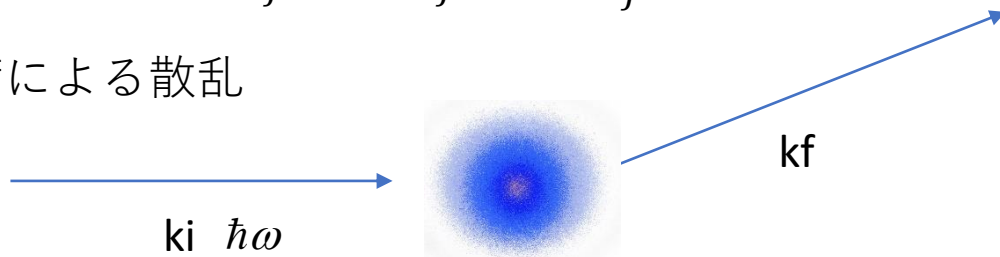


通常の構造解析に使われるのは
孤立原子を前提とした理論計算
球対称を仮定
Q依存性（原子が有限の大きさ）

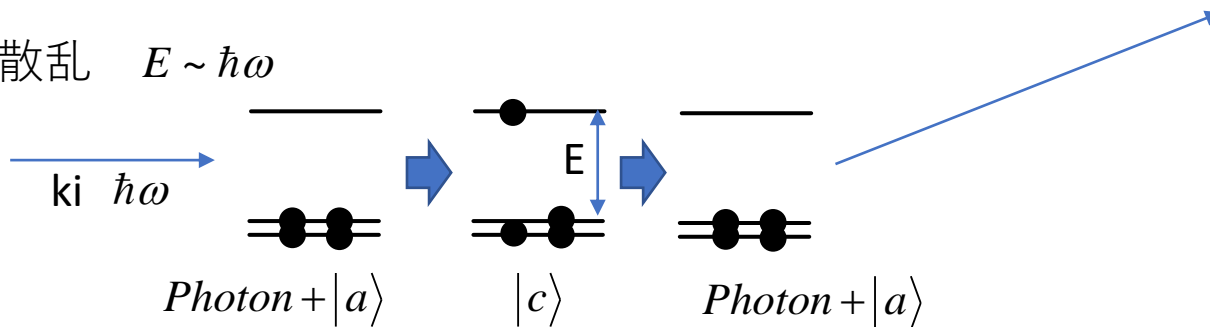
物質による X 線の散乱

$$f_j = f_j^{charge}(Q) + f_j'(E) + f_j''(E) + f_j^{Mag}(Q)$$

電荷による散乱



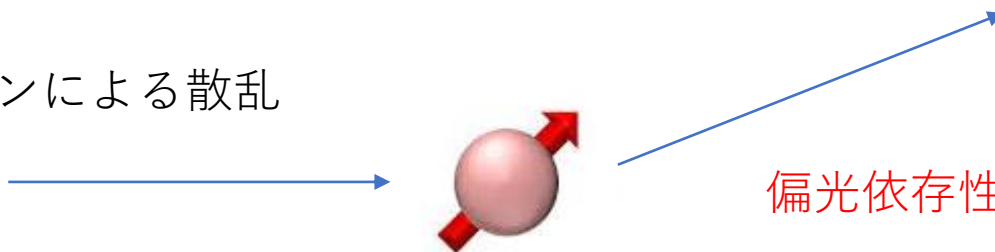
共鳴散乱 $E \sim \hbar\omega$



最外殻電子の状態についての情報

→ スピン偏極、電荷、軌道占有

スピンによる散乱



偏光依存性がそれぞれ異なる！

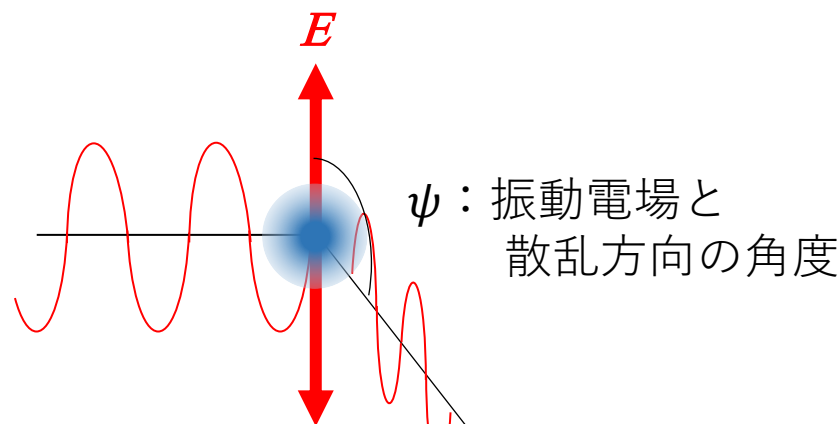
電子による散乱の偏光依存性

光の電場がある振動数 ω で電子を振動させたときの加速度

$$\ddot{\mathbf{z}} = -\frac{eE_0}{m_e} \sin\omega t$$

放出される電磁場の \mathbf{E} , \mathbf{H} は

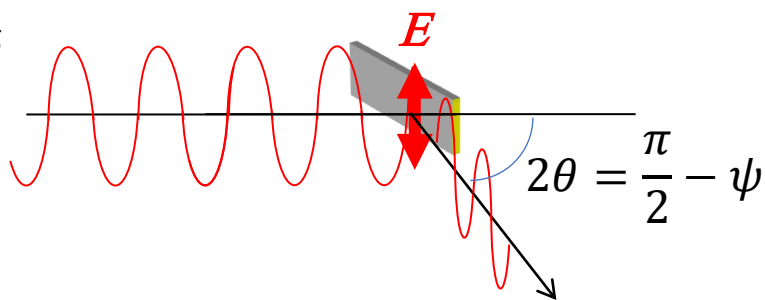
$$\mathbf{E} = \mathbf{H} = \ddot{\mathbf{z}} \frac{e}{c^2 R} \sin\psi$$



ψ : 振動電場と散乱方向の角度

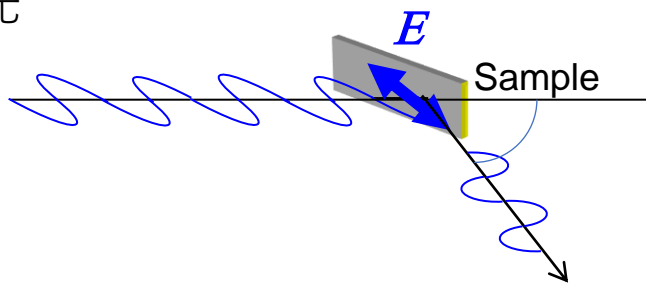
基本は振動電場と同じ方向に振動したい

垂直偏光



$$I(\mathbf{Q}) = A^2 |F(\mathbf{Q})|^2$$

水平偏光



$$I(\mathbf{Q}) = A^2 |F(\mathbf{Q})|^2 \cdot \cos^2 2\theta$$

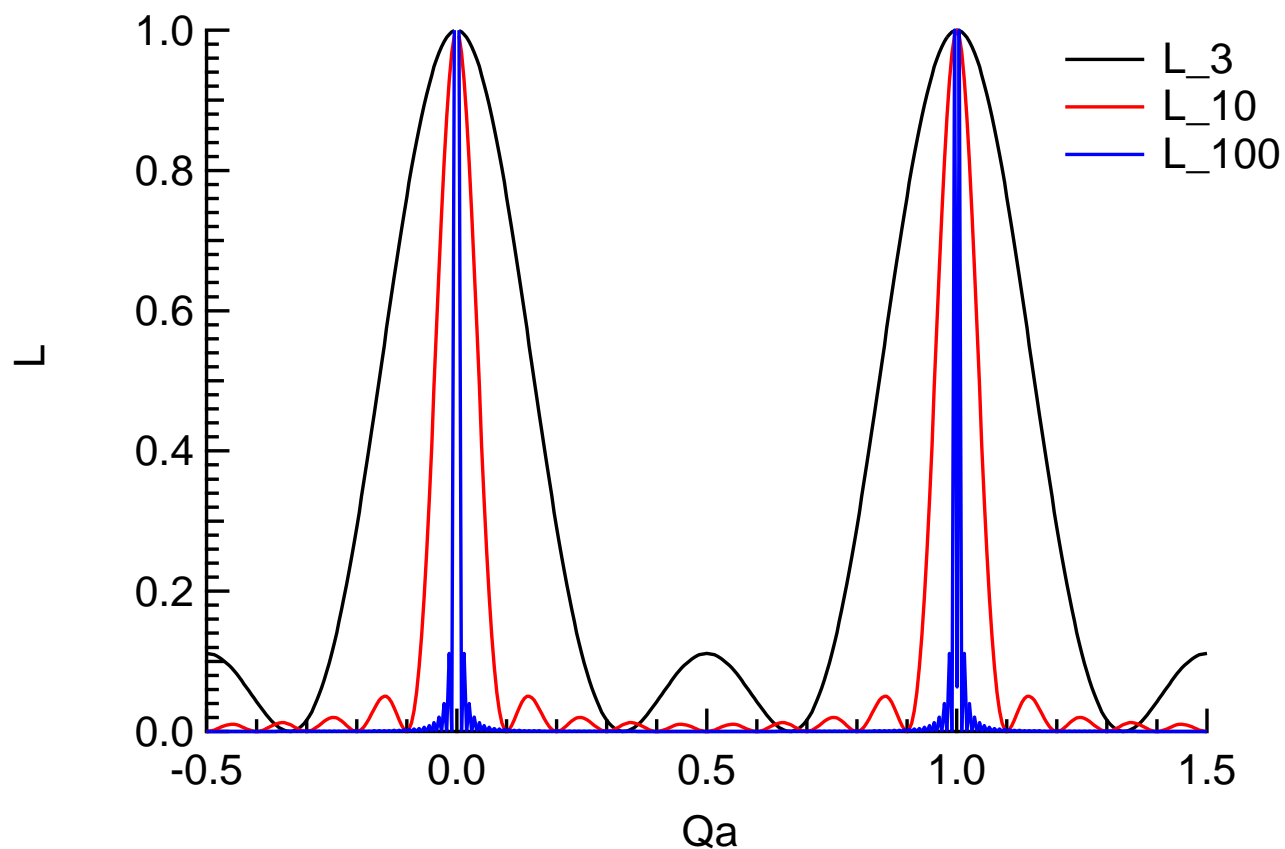
$$L(\mathbf{Q}, n_1 \mathbf{a}, n_2 \mathbf{b}, n_3 \mathbf{c}) =$$

$$\begin{aligned} \sum_{n_1, n_2, n_3} e^{i\mathbf{Q}(n_1 \mathbf{a} + n_2 \mathbf{b} + n_3 \mathbf{c})} &= \sum_{n_1} e^{i\mathbf{Q}(n_1 \mathbf{a})} \sum_{n_2} e^{i\mathbf{Q}(n_2 \mathbf{b})} \sum_{n_3} e^{i\mathbf{Q}(n_3 \mathbf{c})} \\ &= \frac{e^{iN_1 \mathbf{Q} \cdot \mathbf{a}} - 1}{e^{i\mathbf{Q} \cdot \mathbf{a}} - 1} \cdot \frac{e^{iN_2 \mathbf{Q} \cdot \mathbf{b}} - 1}{e^{i\mathbf{Q} \cdot \mathbf{b}} - 1} \cdot \frac{e^{iN_3 \mathbf{Q} \cdot \mathbf{c}} - 1}{e^{i\mathbf{Q} \cdot \mathbf{c}} - 1} \end{aligned}$$

$$\frac{e^{iN_1 \mathbf{Q} \cdot \mathbf{a}} - 1}{e^{i\mathbf{Q} \cdot \mathbf{a}} - 1} = \frac{(e^{i\frac{N_1}{2} \mathbf{Q} \cdot \mathbf{a}} - e^{-i\frac{N_1}{2} \mathbf{Q} \cdot \mathbf{a}}) e^{i\frac{N_1}{2} \mathbf{Q} \cdot \mathbf{a}}}{(e^{i\frac{1}{2} \mathbf{Q} \cdot \mathbf{a}} - e^{-i\frac{1}{2} \mathbf{Q} \cdot \mathbf{a}}) e^{i\frac{1}{2} \mathbf{Q} \cdot \mathbf{a}}} = \frac{\sin\left(\frac{N_1 \mathbf{Q} \cdot \mathbf{a}}{2}\right)}{\sin\left(\frac{\mathbf{Q} \cdot \mathbf{a}}{2}\right)} e^{i\frac{(N_1-1)}{2} \mathbf{Q} \cdot \mathbf{a}}$$

$$L(\mathbf{Q}, n_1 \mathbf{a}, n_2 \mathbf{b}, n_3 \mathbf{c}) = \left(\frac{\sin\left(\frac{N_1 \mathbf{Q} \cdot \mathbf{a}}{2}\right)}{\sin\left(\frac{\mathbf{Q} \cdot \mathbf{a}}{2}\right)} \right)^2 \left(\frac{\sin\left(\frac{N_2 \mathbf{Q} \cdot \mathbf{b}}{2}\right)}{\sin\left(\frac{\mathbf{Q} \cdot \mathbf{b}}{2}\right)} \right)^2 \left(\frac{\sin\left(\frac{N_3 \mathbf{Q} \cdot \mathbf{c}}{2}\right)}{\sin\left(\frac{\mathbf{Q} \cdot \mathbf{c}}{2}\right)} \right)^2 \quad \text{ラウエ関数}$$

ラウエ関数



N が大きくなるとピークが鋭くなる。

単結晶： $N \sim \infty$ (アボガドロ数)

薄膜： $N \sim 1 \sim 10$

ピーク位置は $Q \cdot a, Q \cdot b, Q \cdot c$ 全てが 2π の整数倍

回折条件

逆格子ベクトル

\mathbf{Q} が作る空間（逆格子空間）を逆格子ベクトルで定義する

$$\mathbf{a}^* = \frac{2\pi(\mathbf{b} \times \mathbf{c})}{\mathbf{a} \cdot (\mathbf{b} \times \mathbf{c})}$$

$$\mathbf{b}^* = \frac{2\pi(\mathbf{c} \times \mathbf{a})}{\mathbf{a} \cdot (\mathbf{b} \times \mathbf{c})}$$

$$\mathbf{c}^* = \frac{2\pi(\mathbf{a} \times \mathbf{b})}{\mathbf{a} \cdot (\mathbf{b} \times \mathbf{c})}$$

長さの逆数 単位 \AA^{-1}

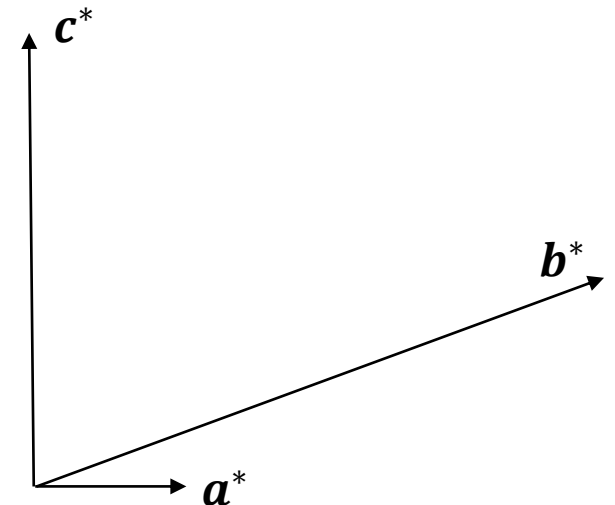
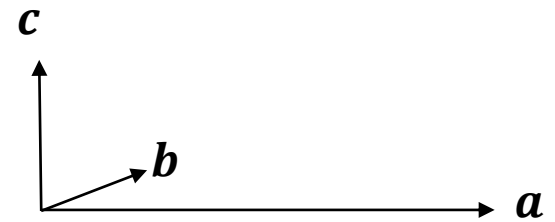
直方晶の場合、

$$|\mathbf{a}^*| = 2\pi/a, |\mathbf{b}^*| = 2\pi/b, |\mathbf{c}^*| = 2\pi/c$$

$$\mathbf{a}^* \parallel \mathbf{a}, \mathbf{b}^* \parallel \mathbf{b}, \mathbf{c}^* \parallel \mathbf{c} \quad (\text{右手系})$$

六方晶の逆格子？

$$\mathbf{a} = a(1\ 0\ 0), \mathbf{b} = a(-\sqrt{3}/2\ \frac{1}{2}\ 0), \mathbf{c} = c(0\ 0\ 1), \alpha = \beta = 90, \gamma = 120$$

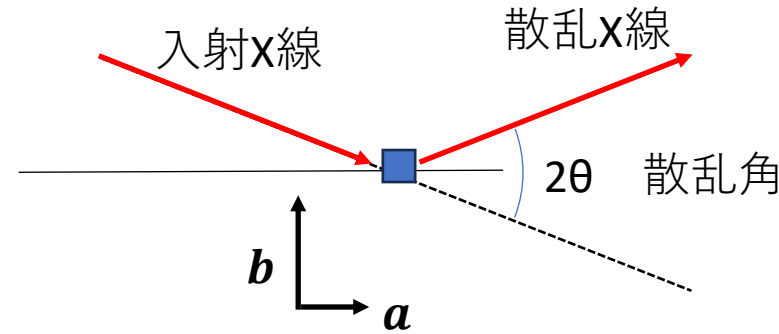
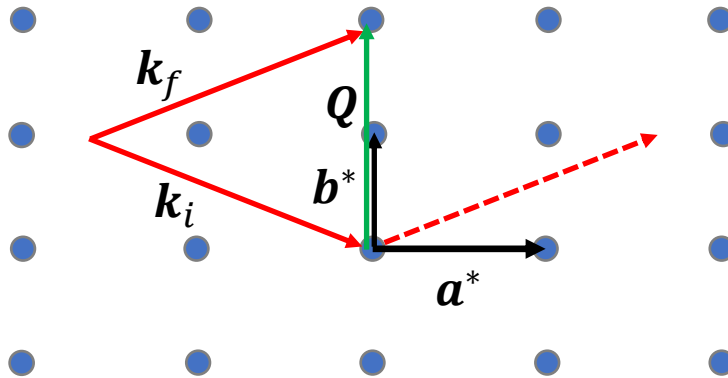


逆格子空間

$$\boldsymbol{\tau} = h\mathbf{a}^* + k\mathbf{b}^* + l\mathbf{c}^*$$

ラウエ関数が有限の値を持つのは、 h, k, l が整数

$\mathbf{Q} = \boldsymbol{\tau}$ 回折強度 $\neq 0$ のための条件



逆格子空間における回折ピーク位置は $\mathbf{Q} \cdot \mathbf{a}, \mathbf{Q} \cdot \mathbf{b}, \mathbf{Q} \cdot \mathbf{c}$ 全てが 2π の整数倍
逆格子点、Bragg点

$$2k\sin\theta = |\mathbf{Q}| \quad |\mathbf{Q}| = \sqrt{h^2\mathbf{a}^{*2} + k^2\mathbf{b}^{*2} + l^2\mathbf{c}^{*2}} = 2\pi \sqrt{\frac{h^2}{a^2} + \frac{k^2}{b^2} + \frac{l^2}{c^2}}$$

$$2d\sin\theta = \lambda \quad \text{Braggの反射条件}$$

原子変位

$$\begin{aligned} F(\mathbf{Q}) &= \sum_j^{\text{cell}} f_i(\mathbf{Q}) \exp(i\mathbf{Q}\mathbf{r}_j) \\ &= \sum_j^{\text{cell}} f_i(\mathbf{Q}) \exp(i\mathbf{Q}(\mathbf{R}_j + \mathbf{u}_j)) = \sum_j^{\text{cell}} f_i(\mathbf{Q}) \exp(i\mathbf{Q}\mathbf{R}_j) \exp(i\mathbf{Q}\mathbf{u}_j) \end{aligned}$$

空間時間平均

$$\langle F(\mathbf{Q}) \rangle = \sum_j^{\text{cell}} f_i(\mathbf{Q}) \exp(i\mathbf{Q}\mathbf{R}_j) \langle \exp(i\mathbf{Q}\mathbf{u}_j) \rangle$$

$$\langle \exp(i\mathbf{Q}\mathbf{u}_j) \rangle = \int \exp(i\mathbf{Q}u_j) \frac{1}{\sqrt{2\pi\sigma^2}} \exp\left(-\frac{u_j^2}{2\pi\sigma^2}\right) du = \exp\left(-\frac{Q^2\langle u_j^2 \rangle}{2}\right)$$

$$\langle F(\mathbf{Q}) \rangle = \sum_j^{\text{cell}} f_i(\mathbf{Q}) \exp\left(-\frac{Q^2\langle u_j^2 \rangle}{2}\right) \exp(i\mathbf{Q}\mathbf{R}_j)$$

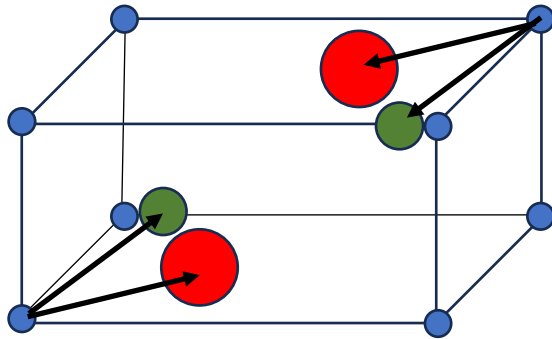
デバイ・ワラー因子

温度因子

$f_i(\mathbf{Q})$ を高角で減衰させるように働く
 $\langle u_j^2 \rangle$ は負の値は物理的にあり得ない

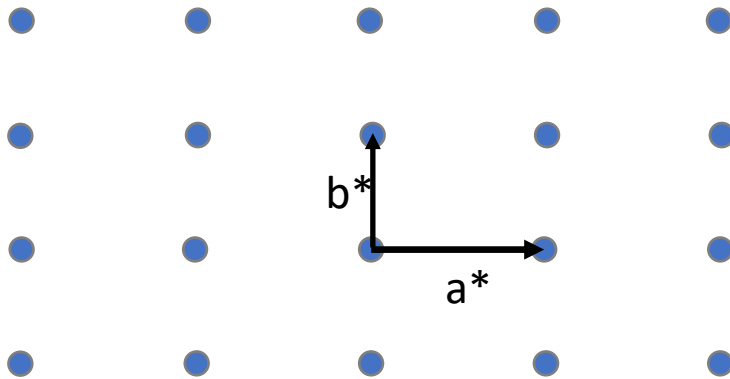
構造因子 $F(\mathbf{Q})$ の計算

例 原子単位胞 (反転心有)



$$\begin{aligned}
 F(\mathbf{Q}) &= \sum_j^{cell} f_i(\mathbf{Q}) e^{i\mathbf{Q}\mathbf{r}_j} \\
 &= f_1(hkl) e^{2\pi i(hx_1 + ky_1 + lz_1)} + f_1(hkl) e^{-2\pi i(hx_1 + ky_1 + lz_1)} \\
 &\quad + f_2(hkl) e^{2\pi i(hx_2 + ky_2 + lz_2)} + f_2(hkl) e^{-2\pi i(hx_2 + ky_2 + lz_2)} \\
 &= 2f_1(hkl) \cos 2\pi(hx_1 + ky_1 + lz_1) \\
 &\quad + 2f_2(hkl) \cos 2\pi(hx_2 + ky_2 + lz_2)
 \end{aligned}$$

消滅測無し



バイフットペア
の反射強度が等しい
 $I(hkl) = I(-h-k-l)$

反転心があるときは必ず成立する。
フリーデル則

反転心が無いとき
フリーデル則が破れる

例 c底心の場合 Cmmm (No. 65)

Cmmm

No. 65

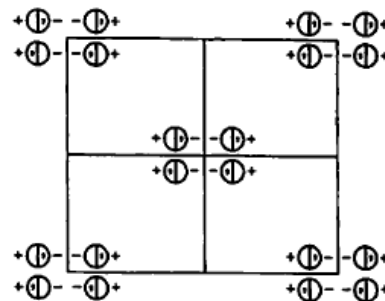
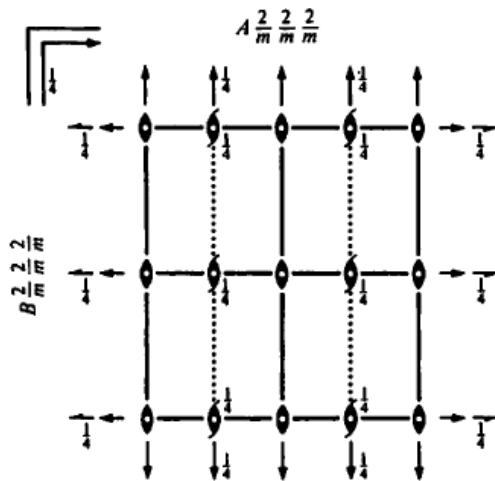
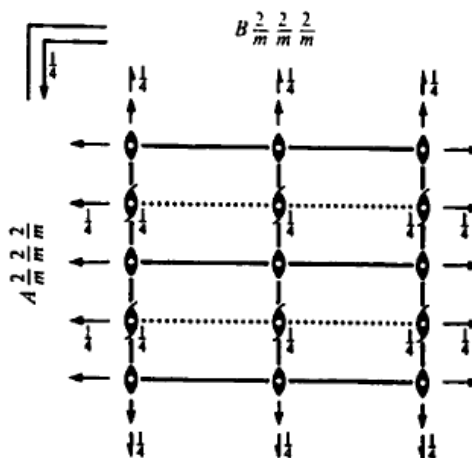
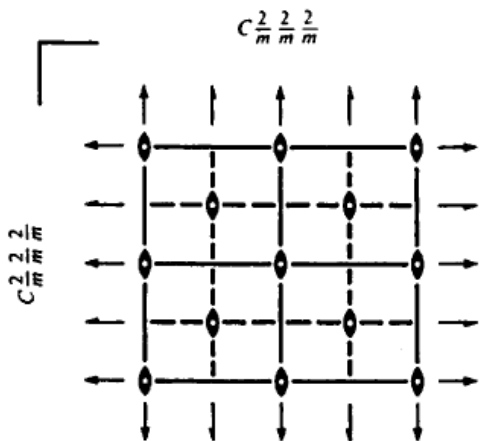
D_{2h}^{19}

$C 2/m 2/m 2/m$

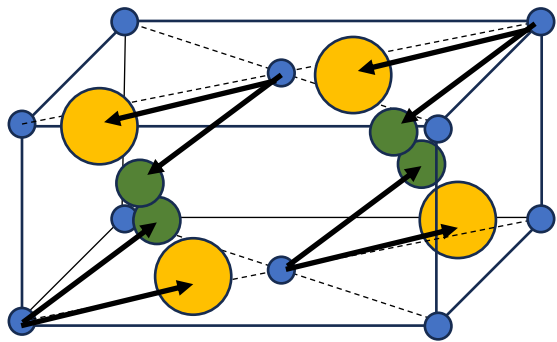
mmm

Orthorhombic

Patterson symmetry *Cmmm*



例 c底心の場合 (反転心有)



$$\begin{aligned}
 &= f_1(hkl)e^{2\pi i(hx_1+ky_1+lz_1)} + f_1(hkl)e^{-2\pi i(hx_1+ky_1+lz_1)} \\
 &+ f_1(hkl)e^{2\pi i(h(x_1+1/2)+k(y_1+1/2)+lz_1)} \\
 &+ f_1(hkl)e^{-2\pi i(h(x_1+1/2)+k(y_1+1/2)+lz_1)} \\
 &+ f_2(hkl)e^{2\pi i(hx_2+ky_2+lz_2)} + f_2(hkl)e^{-2\pi i(hx_2+ky_2+lz_2)} \\
 &+ f_2(hkl)e^{2\pi i(h(x_2+1/2)+k(y_2+1/2)+lz_2)} \\
 &+ f_2(hkl)e^{-2\pi i(h(x_2+1/2)+k(y_2+1/2)+lz_2)}
 \end{aligned}$$

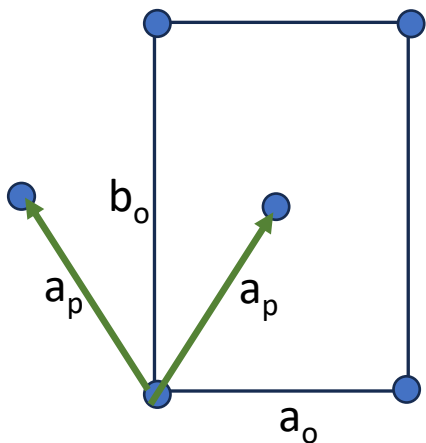
h: even, k: even h: odd, k: odd

$$\begin{aligned}
 &= 4f_1(hkl) \cos 2\pi i(hx_1 + ky_1 + lz_1) \\
 &+ 4f_2(hkl) \cos 2\pi i(hx_2 + ky_2 + lz_2)
 \end{aligned}$$

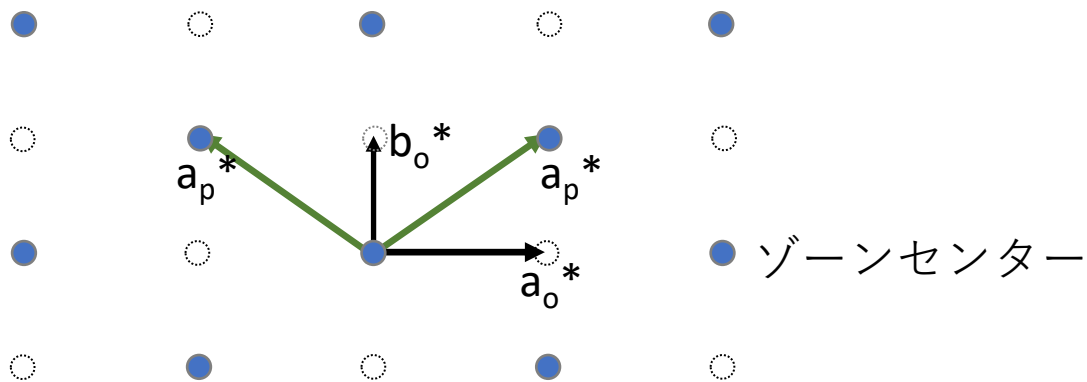
h: even, k: odd h: even, k: odd

$$= 0$$

単位胞(実空間)



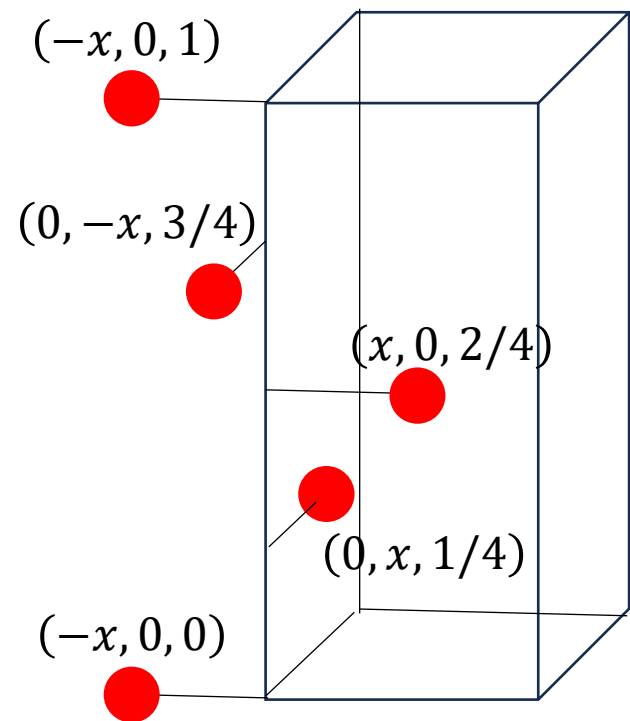
逆空間



複合格子の由来する消滅測は本質的
ブリュリアンゾーンが異なる

例 4_1 螺旋の場合

$$F(\mathbf{Q}) = \sum_j^{cell} f_i(\mathbf{Q}) e^{i\mathbf{Q}r_j}$$



$$a = b$$

$$\alpha = \beta = \gamma = 90$$

例 4_1 螺旋の場合

$$F(\mathbf{Q}) = \sum_j^{cell} f_i(\mathbf{Q}) e^{i\mathbf{Q}r_j}$$

$$= f_1(hkl) e^{2\pi i(-hx)} + f_1(hkl) e^{2\pi i(kx+l/4)}$$

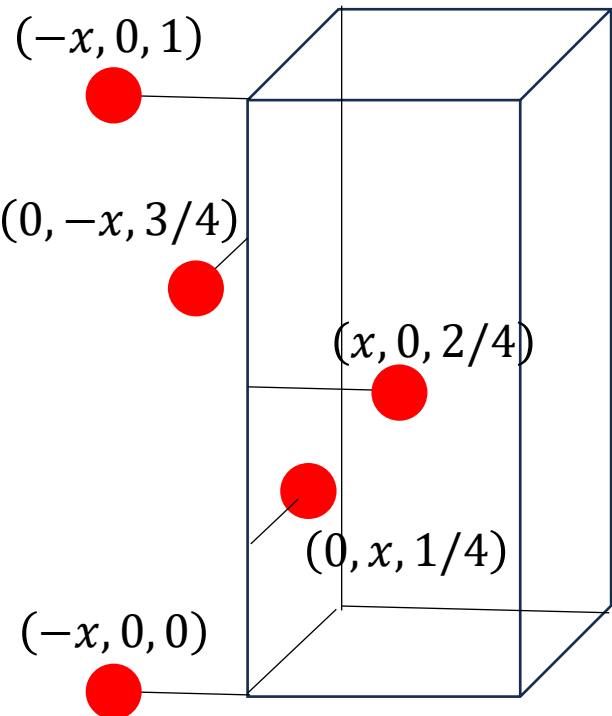
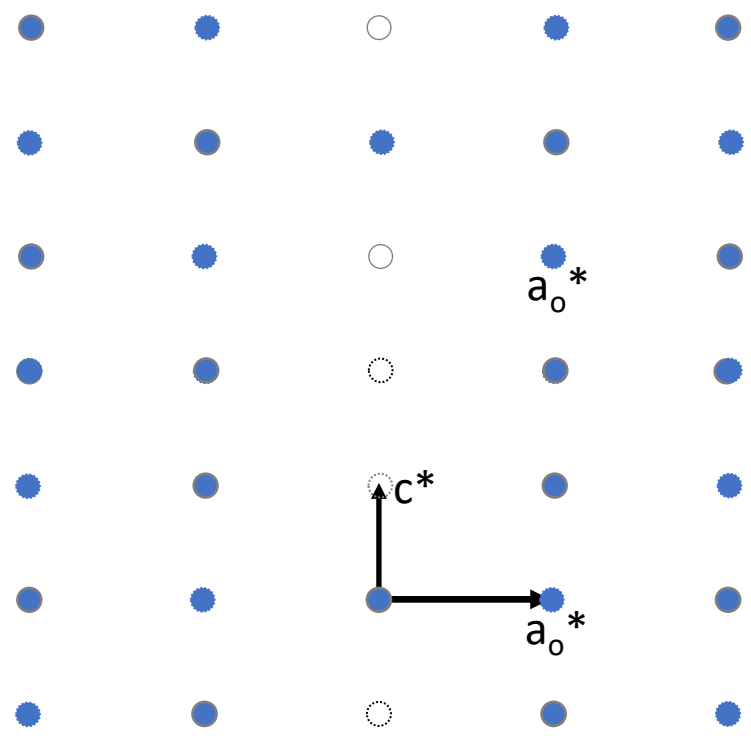
$$+ f_1(hkl) e^{2\pi i(hx+l/2)} + f_1(hkl) e^{2\pi i(-kx+lz_2)}$$

$(00l)$ で $l = 4n$

$$F(\mathbf{Q}) = 4f_1$$

$(00l)$ で $l \neq 4n$

$$F(\mathbf{Q}) = 0$$



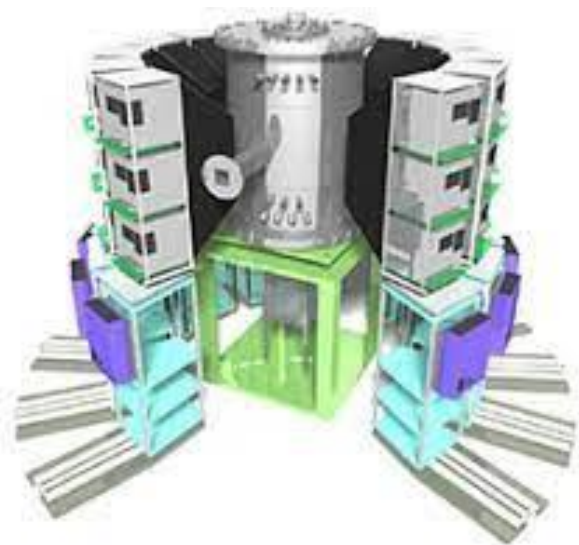
$a = b$
 $\alpha = \beta = \gamma = 90$

$(00l)$ で $l \neq 4n$

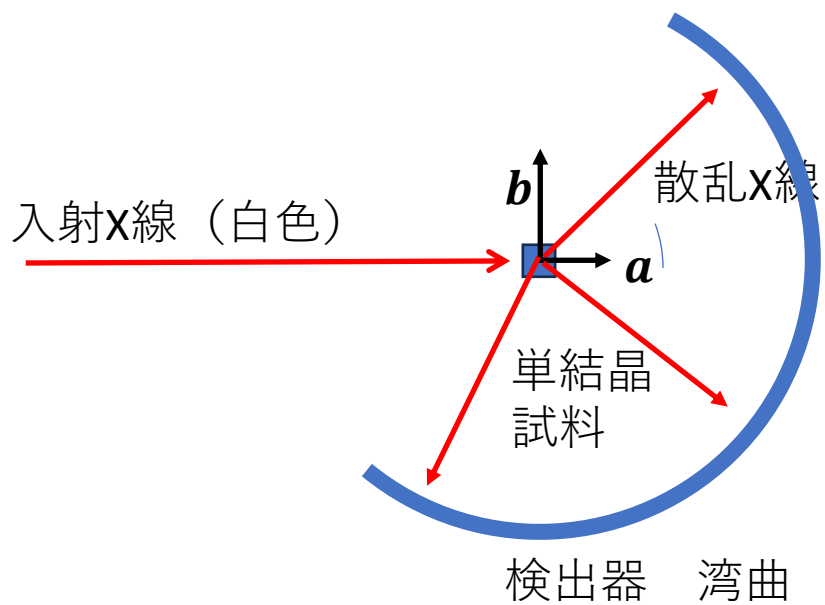
並進を含む対称の由来する消滅測
 ブリュリアンゾーンはPと同じ

サイトの局所対称性を散乱因子に入れ込むと、消滅測が破れる。

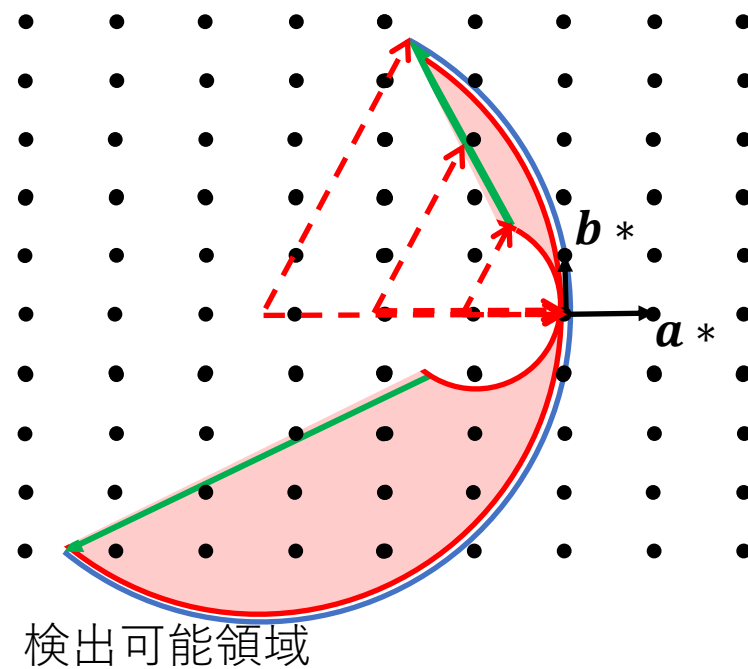
ラウエ法



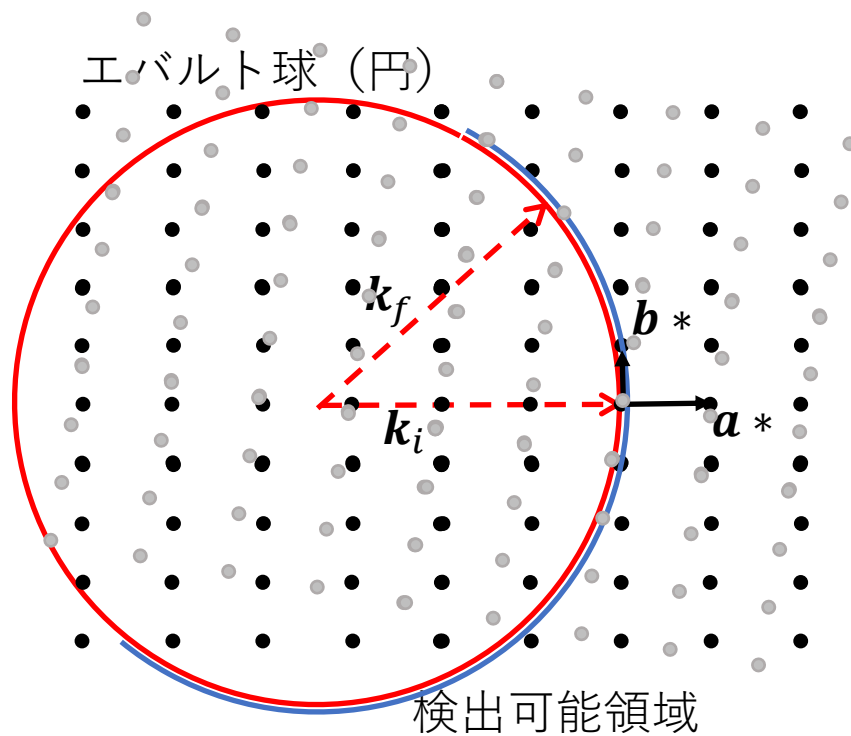
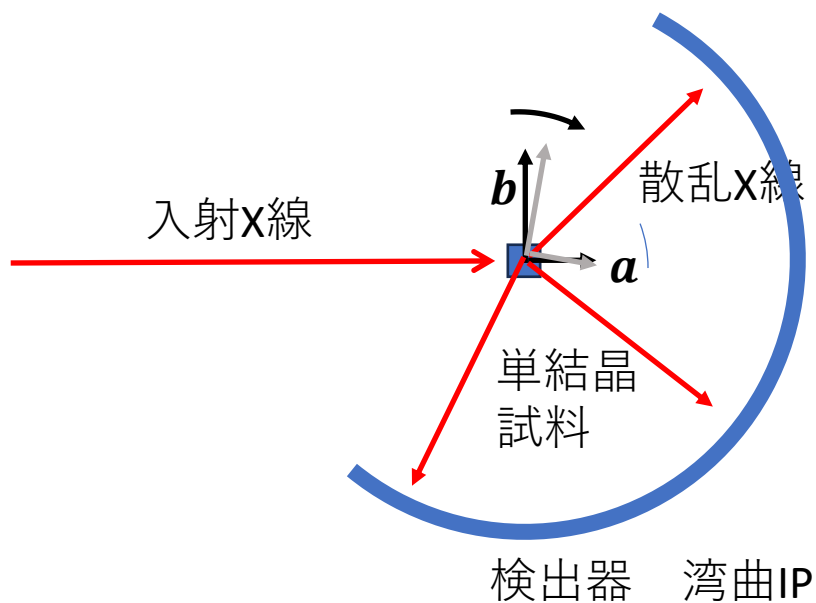
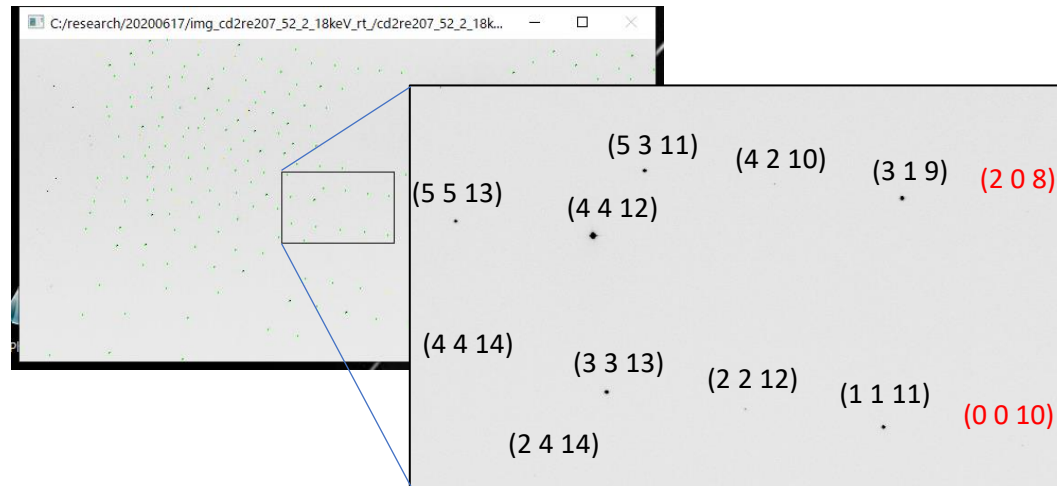
SENJU @MLF J-PARC



エバルト球 (円)

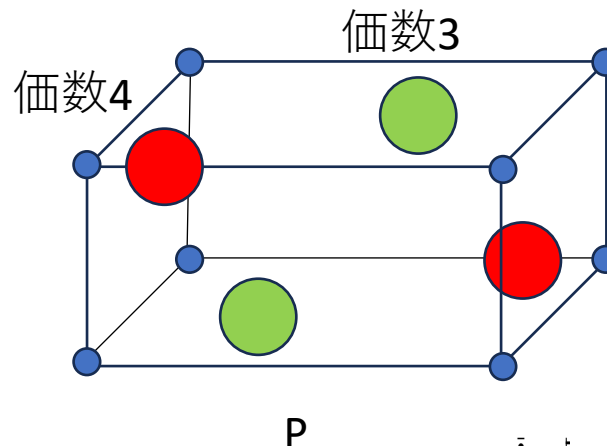
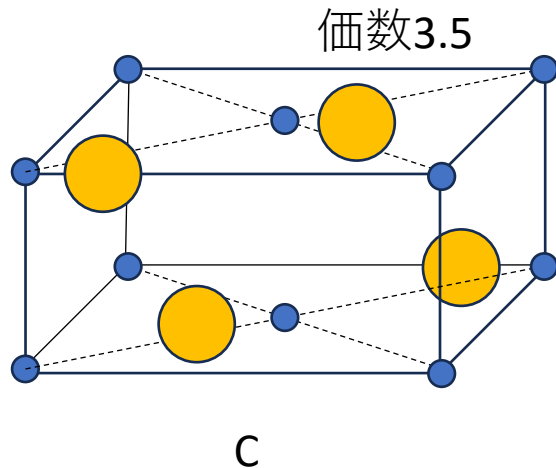


振動写真法



構造相転移による反射パターンの変化

価数秩序による消滅測の破れ



$F(Q)$

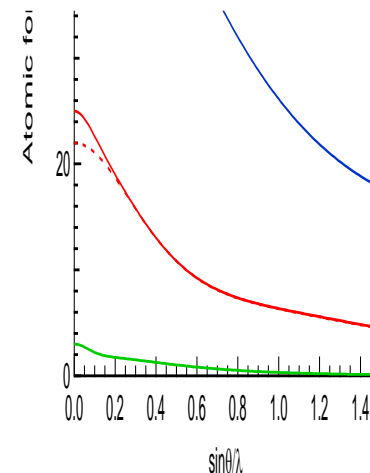
$$\begin{aligned}
 &= f_1(hkl)e^{2\pi i(hx_1+ky_1+lz_1)} + f_1(hkl)e^{-2\pi i(hx_1+ky_1+lz_1)} \\
 &+ f'_1(hkl)e^{2\pi i(h(x_1+1/2)+k(y_1+1/2)+lz_1)} \\
 &+ f'_1(hkl)e^{-2\pi i(h(x_1+1/2)+k(y_1+1/2)+lz_1)}
 \end{aligned}$$

h: even, k: even h: odd, k: odd

$$= 2(f_1(hkl) + f'_1(hkl))f_1 \cos 2\pi i(hx_1 + ky_1 + lz_1)$$

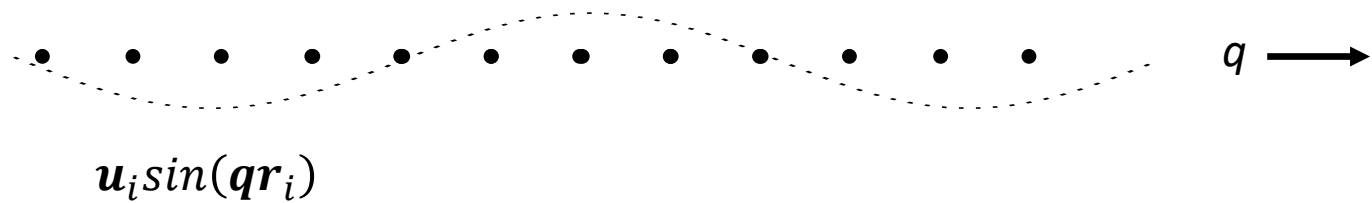
h: even, k: odd h: even, k: odd

$$= 2(f_1(hkl) - f'_1(hkl))f_1 \cos 2\pi i(hx_1 + ky_1 + lz_1)$$



構造相転移による反射パターンの変化

長周期格子変調



$$F(\mathbf{K}) = \sum_{\xi\eta\zeta} f_i \exp[i\mathbf{Q} \cdot \mathbf{r}_i] \quad \mathbf{r}_i = \xi\mathbf{a} + \eta\mathbf{b} + \zeta\mathbf{c} + \langle \mathbf{r}_{0i} \rangle + \delta\mathbf{r}_i$$

$$F(\mathbf{K}) = \sum_{\xi\eta\zeta} \exp[i\mathbf{Q} \cdot (\xi\mathbf{a} + \eta\mathbf{b} + \zeta\mathbf{c})] \sum_i f_i \exp[i\mathbf{Q} \cdot (\langle \mathbf{r}_{0i} \rangle + \delta\mathbf{r}_i)]$$

$$= \sum_{\xi\eta\zeta} \exp[i\mathbf{Q} \cdot (\xi\mathbf{a} + \eta\mathbf{b} + \zeta\mathbf{c})] \sum_i f_i \exp[i\mathbf{Q} \cdot \langle \mathbf{r}_{0i} \rangle] \exp[i\mathbf{Q} \cdot \delta\mathbf{r}_i]$$

$$= \sum_{\xi\eta\zeta} \exp[i\mathbf{Q} \cdot (\xi\mathbf{a} + \eta\mathbf{b} + \zeta\mathbf{c})] \sum_i f_i \exp[i\mathbf{Q} \cdot \langle \mathbf{r}_{0i} \rangle] (1 + i\mathbf{Q} \cdot \delta\mathbf{r}_i)$$

$$\delta\mathbf{r}_i = \mathbf{u}_i \sin(\mathbf{q}\mathbf{r}_i) = -i \frac{\mathbf{u}_i}{2} \begin{bmatrix} \exp(i\mathbf{q}(\xi\mathbf{a} + \eta\mathbf{b} + \zeta\mathbf{c} + \langle \mathbf{r}_{0i} \rangle)) \\ -\exp(-i\mathbf{q}(\xi\mathbf{a} + \eta\mathbf{b} + \zeta\mathbf{c} + \langle \mathbf{r}_{0i} \rangle)) \end{bmatrix}$$

$$= \sum_{\xi\eta\zeta} \exp[i\mathbf{Q} \cdot (\xi\mathbf{a} + \eta\mathbf{b} + \zeta\mathbf{c})] \sum_i f_i \exp[i\mathbf{Q} \cdot \langle \mathbf{r}_{0i} \rangle] \left(1 + \mathbf{Q} \cdot \frac{\mathbf{u}_i}{2} \begin{bmatrix} \exp(i\mathbf{q}(\xi\mathbf{a} + \eta\mathbf{b} + \zeta\mathbf{c} + \langle \mathbf{r}_{0i} \rangle)) \\ -\exp(-i\mathbf{q}(\xi\mathbf{a} + \eta\mathbf{b} + \zeta\mathbf{c} + \langle \mathbf{r}_{0i} \rangle)) \end{bmatrix} \right)$$

$$\begin{aligned}
&= \sum_{\xi\eta\zeta} \exp[i\mathbf{Q} \cdot (\xi\mathbf{a} + \eta\mathbf{b} + \zeta\mathbf{c})] \sum_i f_i \exp[i\mathbf{Q} \cdot \langle \mathbf{r}_{0i} \rangle] \left(1 + \mathbf{Q} \cdot \frac{\mathbf{u}_i}{2} \left[\begin{array}{c} \exp(iq(\xi\mathbf{a} + \eta\mathbf{b} + \zeta\mathbf{c} + \langle \mathbf{r}_{0i} \rangle)) \\ -\exp(-iq(\xi\mathbf{a} + \eta\mathbf{b} + \zeta\mathbf{c} + \langle \mathbf{r}_{0i} \rangle)) \end{array} \right] \right) \\
&= \sum_{\xi\eta\zeta} \exp[i\mathbf{Q} \cdot (\xi\mathbf{a} + \eta\mathbf{b} + \zeta\mathbf{c})] \sum_i f_i \exp[i\mathbf{Q} \cdot \langle \mathbf{r}_{0i} \rangle] \\
&+ \sum_{\xi\eta\zeta} \exp[i(\mathbf{Q} + \mathbf{q}) \cdot (\xi\mathbf{a} + \eta\mathbf{b} + \zeta\mathbf{c})] \sum_i f_i \exp[i(\mathbf{Q} + \mathbf{q}) \cdot \langle \mathbf{r}_{0i} \rangle] \mathbf{Q} \cdot \frac{\mathbf{u}_i}{2} \\
&- \sum_{\xi\eta\zeta} \exp[i(\mathbf{Q} - \mathbf{q}) \cdot (\xi\mathbf{a} + \eta\mathbf{b} + \zeta\mathbf{c})] \sum_i f_i \exp[i(\mathbf{Q} - \mathbf{q}) \cdot \langle \mathbf{r}_{0i} \rangle] \mathbf{Q} \cdot \frac{\mathbf{u}_i}{2}
\end{aligned}$$

回折条件

反射強度

主反射

$$\mathbf{Q} = \boldsymbol{\tau}$$

$$|F(\boldsymbol{\tau})|^2$$

衛星反射

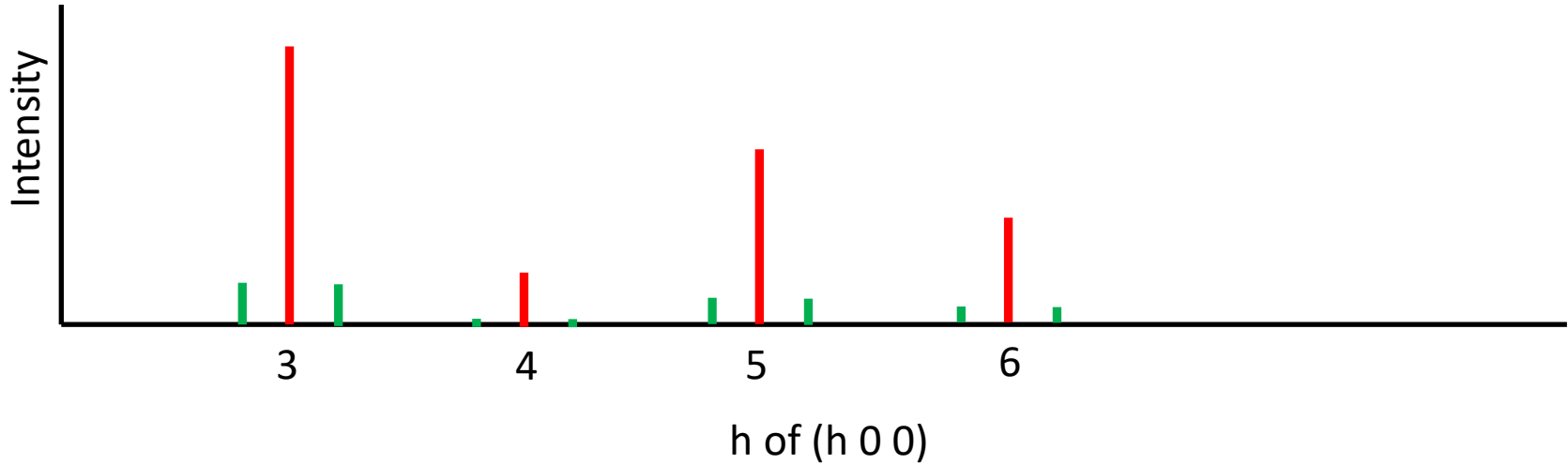
$$\mathbf{Q} = \boldsymbol{\tau} - \mathbf{q}$$

$$|F(\boldsymbol{\tau})|^2 \left| \mathbf{Q} \cdot \frac{\mathbf{u}_i}{2} \right|^2$$

$$\mathbf{Q} = \boldsymbol{\tau} + \mathbf{q}$$

$$|F(\boldsymbol{\tau})|^2 \left| \mathbf{Q} \cdot \frac{\mathbf{u}_i}{2} \right|^2$$

$$\boldsymbol{\tau} = h\mathbf{a}^* + k\mathbf{b}^* + l\mathbf{c}^*$$



格子変調の特徴

- 基本反射の位置 $+q$ と $-q$ に衛星反射が観測される。
- 反射強度は基本反射強度、 $\mathbf{Q} \cdot \mathbf{u}$ の2乗に比例する。
- 強い主反射の衛星反射は強い。
- 変位方向を調べることが可能。

例、 (1000) の衛星反射強、 (0010) の衛星反射無 すなわち $\mathbf{u} \sim //\mathbf{a}$

- 縦波と横波の区別が可能。例、 $\mathbf{q} = (1/600)$ 、 $\mathbf{u} \sim //\mathbf{a}$ は縦波
- 電荷秩序との区別が可能。

課題 (8/1)

- 六方晶の逆格子ベクトルを計算してください。
 $a = a(1\ 0\ 0)$, $b = a(-\sqrt{3}/2\ \frac{1}{2}\ 0)$, $c = c(0\ 0\ 1)$, $\alpha = \beta = 90$, $\gamma = 120$
- 面心直方格子 (例、F222 No.22) の消滅測を導出してください。
- 直方晶におけるa映進 (空間群Pmma, No.51) の消滅測を導出し、該当する逆格子点がブリュリアンゾーンのセンターであるか否か、理由と共に回答してください。

Pmma

No. 51

D_{2h}^5

$P\ 2_1/m\ 2/m\ 2/a$

mmm

Orthorhombic

Patterson symmetry *Pmmm*

